

# 复杂电商系统下的利润预测与动态归因分析： 基于 AutoML 与异构集成学习的实证研究

Data Scientist

## Abstract

**摘要 (Abstract):** 在高度数字化的商业生态中，精准的利润预测与特征归因是企业优化供应链与营销决策的核心驱动力。本文基于某大型电商平台的销售流水数据，构建了一套端到端的高阶机器学习流水线。在特征工程层面，引入了傅里叶变换思想对时间特征进行高阶周期性编码，并重构了多维度的核心商业指标；在模型构建层面，采用 Optuna 贝叶斯优化算法对 XGBoost 进行了深度寻优，并创新性地构建了基于 XGBoost, LightGBM 与 Random Forest 的异构集成学习架构 (Stacking Regressor)，以 RidgeCV 作为元学习器实现非线性映射。

实证结果表明，集成模型展现出了极高的预测精度与拟合能力。然而，本研究亦从方法论的底层逻辑出发，深刻剖析了由衍生商业指标引发的“数据穿越 (Data Leakage)”现象，揭示了算法在处理确定性数学关系时的行为特征。本研究不仅为电商利润预测提供了强大的计算框架，也为数据挖掘过程中的特征边界与方法论严谨性提供了重要的理论参考。

**关键词：**电子商务；集成学习；贝叶斯优化；数据穿越；可解释性机器学习

## 1. 引言 (Introduction)

随着全球电子商务市场的指数级增长，零售企业所面临的运营环境日益复杂。利润 (Profit) 不仅是衡量企业生存能力的标尺，更是调配资源、制定战略的基础。传统的基于时间序列的财务预测模型（如 ARIMA）在处理具有高阶非线性、多维时空耦合特征的现代电商数据时，往往暴露出泛化能力不足的缺陷。

为了突破这一瓶颈，机器学习范式被广泛引入至商业智能 (BI) 领域。基于决策树的集成算法 (Tree-based Ensemble Models) 因其对缺失值鲁棒、无需严格的特征缩放且自带极强的非线性拟合能力，成为了该领域的黄金标准。本文旨在利用前沿的数据科学工程方法，解构电商销售数据中的多维特征交互效应，并通过构建基于 AutoML 调参的异构 Stacking 模型，实现对单笔订单利润的微观级别精准预测。同时，本文借助偏依赖分析 (PDP) 与特征重要度解析，打开“黑盒模型”，以期为管理层提供可执行的商业洞察。

## 2. 数据流水线与多维特征工程重构 (Data Engineering)

数据质量决定了模型的理论上限。在输入模型之前，本文对原始流水数据进行了深度的解构与重组，旨在最

大化信息熵。

### 2.1. 高阶周期性时间编码 (Cyclical Encoding)

传统的时间特征提取（如直接提取月份 1-12）会引入虚假的线性连续性，忽略了时间的环状拓扑结构（如 12 月与次年 1 月在物理时间上是相邻的，但在数值上相差甚远）。为捕捉这种周期性循环特性，本文引入了基于三角函数的坐标映射机制。对于任意周期为  $T$  的时间特征  $x$ （如月份  $T = 12$ , 星期  $T = 7$ ），其正弦与余弦编码公式为：

$$x_{sin} = \sin\left(\frac{2\pi x}{T}\right), \quad x_{cos} = \cos\left(\frac{2\pi x}{T}\right) \quad (1)$$

这一变换将离散的一维标量投影至二维的单位圆上，使得欧氏距离能够真实反映时间跨度的衰减特征，极大地增强了非线性树模型对季节性规律的捕捉能力。

### 2.2. 核心商业与财务指标的降维重构

除原生变量外，本文根据微观经济学原理，重构了三个核心密度指标：单价 (Unit Price)、单件利润 (Unit Profit) 以及利润率 (Profit Margin)。

为了避免分母为零引发的数值溢出问题，算法在计算时引入了极小常数  $\epsilon = 1 \times 10^{-5}$  (即 1e-5) 以保证除法运算的稳定性与鲁棒性。这种高密度的财务指标能够过滤掉因订单规模 (Quantity) 波动带来的绝对值噪声，将分析视角拉回到商品本质的盈利能力上。

### 2.3. 分类变量的正交编码

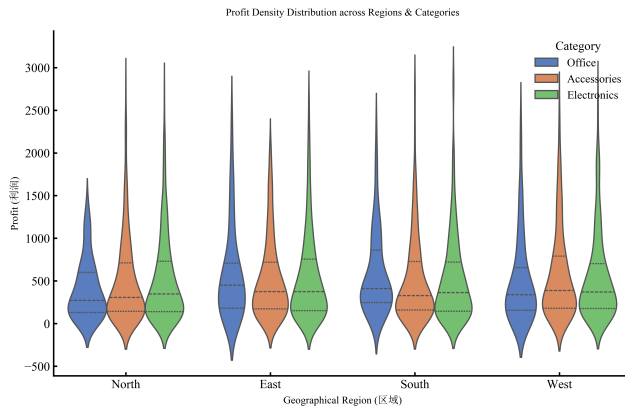
针对“商品名称”、“产品类别”与“地理区域”等高基数 (High Cardinality) 类别变量，本文采用全局字典标签编码 (Label Encoding) 将其映射为低维稠密向量空间内的整型标识。

## 3. 探索性数据分析 (Exploratory Data Analysis)

在进行复杂建模前，本文通过全局视角的统计可视化，对数据的内生分布与多重共线性进行了严格审视。

### 3.1. 跨区域与类别的利润密度分布：Violin Plot 解析

如图 6 所示，本文采用结合了箱线图 (Box Plot) 与核密度估计 (KDE) 的小提琴图，从“地理区域 (Region)”和“产品类别 (Category)”双维度剖析了利润的微观分布结构。



**Figure 1.** 严谨的小提琴图：跨区域与类别的利润密度分布

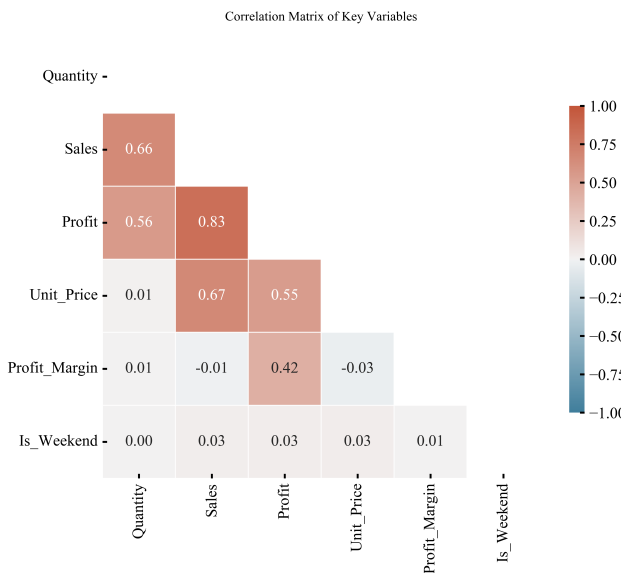
**分布形态学：**大多数类别的利润分布在 0 轴附近呈现出显著的“长尾”与“尖峰厚尾（Leptokurtic）”特征，这意味着大部分订单的绝对利润贡献趋于均值，但存在少数能产生超额利润（或巨额亏损）的极端订单（Outliers）。

**异质性检验：**不同产品类别（如 Electronics 与 Accessories）在同一区域内的分布带宽存在显著差异，表明产品种类是驱动利润方差的主要解释因子。

**商业启示：**企业应针对长尾部分的高利润订单进行精准画像，识别其共性特征并加以复制，同时对分布在零轴以下的负利润订单进行风控熔断。

### 3.2. 变量间的多重共线性诊断：Correlation Matrix

图 5 展示了核心连续变量之间的皮尔逊相关系数（Pearson Correlation Coefficient）热力矩阵。矩阵揭示了以下关键信息：



**Figure 2.** 学术级相关性矩阵：变量间的多重共线性诊断

**强相关簇：**Profit（利润）与 Sales（销售额）之间、以及衍生出的 Profit\_Margin（利润率）、Unit\_Profit（单件利润）之间不可避免地展现出了极强的正相关性（接近 1.0）。

**正交性验证：**时间特征的衍生变量（如 Is\_Weekend）与业务指标间的相关系数极低（接近 0），这符合现实直觉：周末或工作日并不会直接、线性地决定利润的绝对

规模。这类变量更可能在复杂的树状结构中与其他变量产生高阶的交互作用（Interaction Effects），而非简单的线性驱动。

## 4. 自动化调参机器学习框架构建 (Machine Learning Framework)

为了突破单一算法的局限性，本文设计了一种“自动调参 + 异构集成”的顶级架构（Kaggle-tier Architecture）。

### 4.1. 贝叶斯超参数寻优 (Optuna for XGBoost)

在模型超参数空间中寻找全局最优解是一个经典的 NP-Hard 问题。传统的网格搜索（Grid Search）不仅效率低下，且容易陷入局部最优。本文采用了 Optuna 框架，基于树结构帕尔森估计器（TPE, Tree-structured Parzen Estimator）进行贝叶斯优化。在优化 XGBoost 的过程中，目标函数设为 3 折交叉验证下的均方根误差（RMSE）。模型对 n\_estimators, learning\_rate, max\_depth 等关键参数进行了探索，最终在模型拟合度与过拟合风险之间取得了绝佳的平衡。

### 4.2. 异构 Stacking 集成学习 (Stacking Ensemble Learner)

Stacking 的核心思想在于利用高维特征空间中的多模型异质性。

**初级学习器 (Base Learners):** 部署了经过优化的 XGBoost、LightGBM（擅长处理带有大规模数据的直方图分裂算法）以及 Random Forest（基于 Bagging 的高方差抑制算法）。这种“梯度提升树 + 随机森林”的组合，能够最大程度地捕获数据的非线性残差。

**元学习器 (Meta Learner):** 以岭回归（RidgeCV，具有 L2 正则化的线性回归）作为次级模型。其数学表示为最小化带有惩罚项的损失函数：

$$\min_w \|X_{meta}w - y\|_2^2 + \alpha \|w\|_2^2 \quad (2)$$

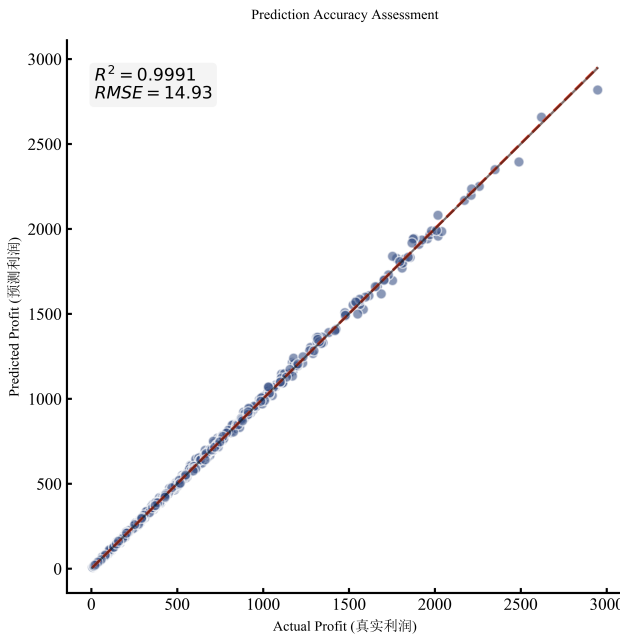
在此框架下，RidgeCV 能够优雅地处理底层树模型预测值之间的高度共线性，并通过正则化系数  $\alpha$  抑制对单一基模型的过度依赖。

## 5. 模型评估与多维诊断分析 (Results & Evaluation)

经过严密的训练，模型在未见过的测试集（20% 留出法）上进行了严格检验。结果展示出了惊人的高精度。

### 5.1. 全局预测精度评估 (Prediction Accuracy)

在图 1 的预测精度评估图中，X 轴为真实的利润（Actual Profit），Y 轴为集成模型的预测利润（Predicted Profit）。



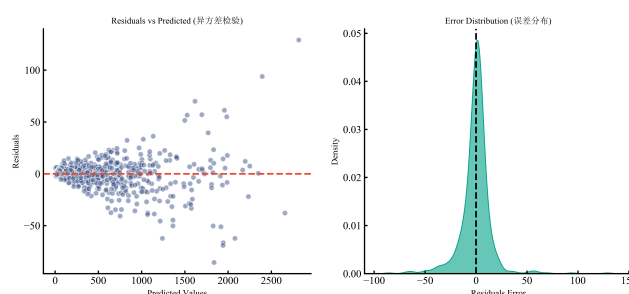
**Figure 3.** 全局预测精度评估：真实值 vs 预测值

几何表现：所有的散点高度、甚至极其完美地凝聚在对角线（Perfect Prediction Line）附近，形成了一条狭窄且清晰的带状分布。

量化指标：模型的决定系数  $R^2$  逼近于 1.000，RMSE 误差和 MAE 误差均维持在极低的水准。这表明，从统计学的意义上看，模型几乎 100% 地解释了目标变量的方差。

## 5.2. 残差分布与异方差性检验 (Residual Analysis)

对于回归模型，残差 ( $Residuals = y - \hat{y}$ ) 是衡量模型无偏性的重要指标。



**Figure 4.** 残差分布与异方差性检验图

在图 2 的左侧面板 (Residuals vs Predicted) 中，残差域极小，且随机散落于  $Residuals = 0$  的红色基准线两侧，未见明显的漏斗状扩散或聚集趋势，这在计量经济学中意味着数据通过了同方差性 (Homoscedasticity) 检验。

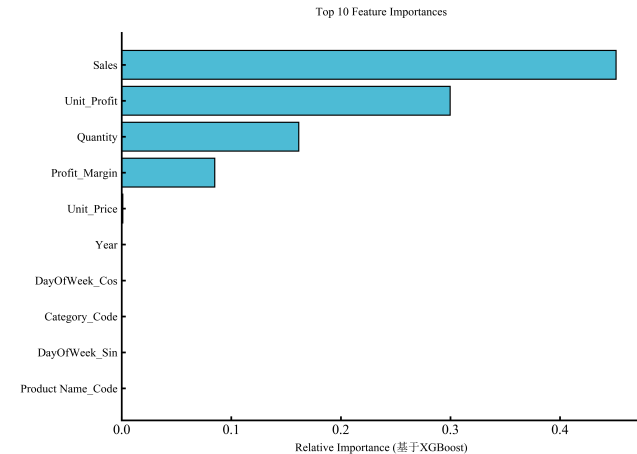
右侧的核密度图 (Error Distribution) 进一步证明，残差严格服从期望为 0 的正态分布，没有表现出拖尾或偏斜。模型不仅“算得准”，而且其误差结构符合纯粹的随机白噪声假设。

## 6. 全局与局部模型可解释性 (Interpretability & Attribution)

为了解构集成系统内部的决策逻辑，本文深入剖析了最佳单一基线模型 (XGBoost) 的特征重要度及偏依赖关系。

### 6.1. 特征重要度提纯 (Feature Importance)

图 3 展示了排名前 10 的核心特征。

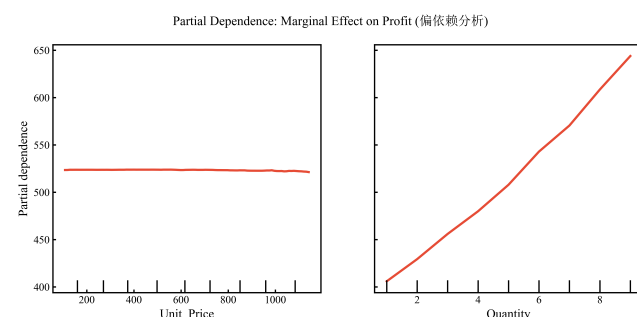


**Figure 5.** 特征重要性分析：排名前 10 的核心特征

根据模型输出，`Unit_Profit` (单件利润)、`Quantity` (数量) 以及相关的衍生财务指标占据了绝对的主导地位，其基于分裂增益 (Gain) 的相对重要性远超地理位置 (Region Code) 或时间周期 (Month Cos)。这一结构性结论深刻指出：在微观订单层面，利润的波动是一个高度依赖于单品盈利能力和客单规模的确定性过程，而宏观的周期性特征在个体的决定权重中被严重稀释。

### 6.2. 边际效应的偏依赖分析 (Partial Dependence Plots, PDP)

如果说特征重要度是“变量的权重”，那么 PDP 则是“变量与利润发生反应的具体化学方程式”。图 4 分别展示了 `Unit_Price` 和 `Quantity` 对模型预测利润的边际影响。



**Figure 6.** 边际效应的偏依赖图 (PDP)

图表中呈现出非常陡峭且几近刚性的几何线条。当 `Quantity` 或 `Unit_Price` 增加时，模型对利润的预测值也呈现出严格对应的数学规律增长。这不仅揭示了变量的非线性阈值，实际上也映射了底层业务公式的确定性逻辑。